

디지털 필터링을 이용한 마멸량 계산

전 종 하·유 응 대*·구 영 필**·조 용 주***

* 부산대학교 대학원 정밀기계공학과

** 부산대학교 대학원 기계공학과

*** 부산대학교 공과대학 기계공학부

The Calculation of the amount of wear using digital filtering

Jong-Ha Jun*, Eung-dae You*, Young-Pil Koo** and Yong-Joo Cho***

*,** Graduate School, Pusan National University

*** School of Mechanical Engineering, Pusan National University

ABSTRACT - A new method for the calculation of a wear amount was suggested. The amount of wear was calculated by the comparison of worn out profile with an estimated original profile. An original profile of wear track was estimated by comparing with outside of wear track. An estimated surface profile was well fitted to the original profile assumed unknown.

Key Words - The amount of wear(마멸량), Digital filtering(디지털 필터링), Low-pass-filter(저역 통과 필터), Waviness(파상도), Roughness(거칠기)

1. 서론

을 측정하여 정량적으로 판단하게 된다.

상대 운동을 하는 두 물체의 상대 면에서는 마찰과 마찰에 의한 마멸이 발생하며, 두 표면의 마멸 상태는 기계 부품의 수명을 예측하거나, 판단하는데 중요한 기준의 하나이다. 마멸 상태는 마멸된 표면 형상의 상태를 광학 현미경이나, 전자 주사 현미경(SEM)등으로 관찰하여 정성적으로 판단하거나, 마멸률

마멸량의 측정은 측정 대상의 크기, 무게 등에 따라 여러 가지 방법으로 이루어진다.⁽¹⁾ 전자 저울을 이용하여 무게의 감소를 측정하는 방법, LVDT 센서나 다이얼 게이지지를 이용하여 측정된 길이 변화를 체적으로 변환 시켜 구하는 방법, 표면 조도기를 이용하여 측정된 표면 형상을 이용하는 방법 등이 있다. 전자 저울을 이용하는 경우는 측정하

고자 하는 물체의 마멸량에 비해 물체의 무게가 무겁고 마멸량이 적을 경우, 전자 저울의 분해능에 따라서 부정확한 측정이 이루어 질 수 있으며, 길이 변화를 측정하는 경우는 두 물체 중 하나의 물체가 경도가 클 때에 유용하다는 단점이 있다. 표면 조도기를 통해 출력된 표면 형상의 파상도(waviness)를 이용하는 경우는 표면 거칠기 성분을 고려하기가 어렵기 때문에 길들이기 과정과 같은 초기 마멸량을 계산하기가 어렵다. 또한, 표면 조도기에 의해 측정된 표면 형상을 이용하여 마멸량을 계산하는 다른 방법으로서, 푸리에 급수와 최소 자승법을 이용하여 마멸된 표면 형상의 마멸 전 형상을 추정하는 방법이 제시되었는데⁽²⁾, 이 방법에서 식의 차수가 고차가 될수록 마멸된 부분에서 발산을 함으로서 정밀한 형상을 추정하지 못하는 단점이 있었다. 또 다른 방법으로서, 비커스 경도계를 이용하여 고압, 고 마찰이 발생하는 실린더의 마멸량을 측정하는 방법이 제시되었는데⁽³⁾, 이 방법은 마멸이 심하게 발생하여 경도계의 압흔이 없어질 경우 마멸량을 측정하기 어려운 점이 있다. Blau 등⁽⁴⁾은 접촉식 표면 측정기로 측정된 표면 형상을 이미지 해석 프로그램을 사용하여 마멸 체적을 구하는 방법을 제시하였으나, 이 방법 역시 표면 거칠기 성분의 추정이 어렵고, 실험 시나 실용적인 사용에서는 어려움이 있다.

본 논문에서는 위와 같은 문제점을 보완하기 위해 표면 조도기를 통하여 마멸 시험 전 측정된 표면 형상을 이용하여, 마멸량을 측정하고자 하는 부분에서 마멸 실험 후 측정된 표면 형상의 마멸 이전 형상을 추정하는 방법을 제시하고자 한다.

2. 마멸량 계산을 위한 표면 형상 추정 절차

2.1 마멸량 계산 방법

표면 조도기를 이용하여 마멸량을 계산할 경우, 보통 마멸 실험 후 측정된 표면 형상에서 마멸이 된 부분의 단면적을 이용하여, 마멸량을 계산한다. 이러한 마멸이 된 부분의 단면적을 계산하기 위해서 기준선이 설정되어야 하는데, 기준선의 형상이 마멸이 된 부분의 마멸 전 형상과 유사하거나 같다면 더욱 정밀한 마멸량 계산이 가능할 것이다. 이러한 표면 형상은 기계 공구의 진행 방향으로의 공구의 회전이나 열 변형에 의한 긴 파장의 성분, 기계 공구의 진동에 의해 발생하는 파장이 긴 파상도, 연마 과정 등에 의해 발생하는 거칠기 성분으로 이루어지며, 이 성분들이 조합되어 하나의 표면 형상을 나타내게 된다.⁽⁴⁾ 가공된 표면에서의 표면 형상들은 유사한 형상을 이룬다. Fig. 1은 연삭 가공을 통해 얻어진 재질의 표면 형상을 측정한 것이다. Fig. 1에 나타나듯이 측정된 표면 형상들은 각각 비슷한 형상을 이루고 있음을 알 수 있다. 이 유사성을 이용하여

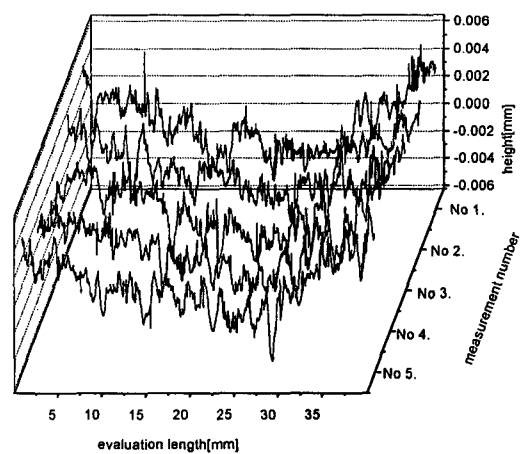


Fig. 1 Measured surface profiles

마멸량 계산을 위한 기준 형상에 해당하는 표면 형상을 유추하기 위하여 마멸 실험 전에 표면 조도기를 사용하여 표면 형상을 여러 개 획득하고, 마멸 실험이 끝난 후 획득된 표면 형상에서 마멸이 발생하지 않은 부분의 파상도와 거칠기 성분을 비교하여 각각 가장 유사하다고 판단되는 표면 형상의 파상도와 거칠기를 합성하여 마멸 전 형상으로 추정하고, 추정된 형상을 이용하여 마멸 단면적을 계산한다.

2.2 표면 형상 추정 과정

2.2.1 표면 형상 측정 및 움직이는 창

마멸 전 표면 형상의 측정은 마멸 실험 후 측정할 표면 형상 측정 길이보다 2배정도 길게, 그리고 일정 간격으로 여러 개의 표면 형상을 측정한다. 이는 마멸 전 형상을 측정한 위치에서 마멸 후 형상을 정확히 측정하기 어려우므로 마멸 후 형상 측정시 측정 위치의 변화를 고려한 것이다. 마멸 후 형상 측정은 마멸 전 형상들이 측정된 부위에서 측정을 하여 구한다.

마멸 후 측정된 표면 형상의 마멸 전 형상 추정은 마멸 후 측정된 표면 형상의 마멸 트랙 주위 형상을 이용하여 마멸 전 측정된 표면 형상들과 동일한 부분에서 파상도와 거칠기를 비교한다. 이때 마멸 전 형상은 마멸 후 형상보다 측정 길이가 2배정도 길며, 측정 위치에 차이가 있으므로, 마멸 후 측정된 표면 형상의 측정 길이의 크기를 움직이는 창의 크기로 설정하고 마멸 전 형상의 구간을 움직이면서 가장 유사한 파상도와 거칠기를 구하게 된다. 움직이는 창(moving window) 내에서의 마멸 전 표면 형상과 마멸 후 표면 형상은 마멸 트랙 주위의 높이 값들에 대해 최소 자승법을 이용하여, 곡선

적합(curve fitting)된 직선을 기준으로 높이 값들을 재조정한다. 이것은 비교되는 마멸 전 표면 형상의 값들을 움직이는 창의 크기에 맞게 높이 값을 재조정한다는 것을 의미한다.

2.2.2 필터(filter)의 선정

필터는 표면 형상을 파상도와 거칠기 성분으로 분리시키며, 본 논문에서는 마멸 전 형상을 추정하기 위한 파상도와 거칠기 성분을 얻기 위해 사용되었다.

일반적으로 필터는 정해진 조건에 따른 위상이나 크기 응답(magnitude response)을 동시에 만족하지 못하므로, 관심을 가지는 특성에 맞게 필터를 선택하여야 한다. 본 논문에서 사용된 필터는 위상보다는 크기 응답에 중점을 두고 통과 대역(pass band)에서 맥동(ripple)이 발생하지 않는 필터를 선택하였다. 이는 통과 대역에서의 맥동 발생은 필터를 할 때 표면 형상의 높이 값의 왜곡을 발생시킬 수 있기 때문이다. 또한, 마멸량 계산시는 동일 조건의 필터를 사용하여 필터링된 파상도와 거칠기를 비교함으로 천이 영역(transient region)과 위상 응답(phase response)은 고려하지 않았다. 따라서, 저역 통과 필터(lowpass filter)를 위해 Butterworth filter를 선택하였다.

저역 통과 필터 설계시 필터가 가지는 특성은 일반적인 규격에서 규정되고 있는 값을 사용하였다.⁽⁵⁾⁽⁶⁾⁽⁷⁾ 즉, 감쇠비는 -12dB/oct이며, 차단 값에서 이득이 75%인 특성을 가지는 필터를 설계하였다. 이 특성을 이용하여 필터를 설계하면 아래와 같다.

필터의 차수는 아래의 식을 이용하여 구해진다.

$$n = \frac{a}{20 \log_{10} \frac{w_l}{w_c}} \quad \dots \quad (1)$$

여기서, α 는 감쇠(dB), w_c 는 차단 주파수, w_l 는 최소 감쇠에서의 주파수.

식(1)에 위의 조건을 대입하여 풀면 Butterworth filter의 원형은 2차이며, 일반화된 필터(normalised filter)는 아래와 같다.

$$H_n(s_n) = \frac{1}{s_n^2 + \sqrt{2}s_n + 1} \quad \dots \quad (2)$$

(2)식을 아래의 (3)식과 같은 관계를 이용하여 w_c 의 차단 주파수(cut-off frequency)를 가지는 연속 저역 통과 필터(continuous lowpass filter)로 변환하면,

$$s_n = \frac{s}{w_c} \quad \dots \quad (3)$$

$$H(s) = \frac{w_c^2}{s^2 + \sqrt{2}w_c s + w_c^2} \quad \dots \quad (4)$$

(4)식은 연속 필터(continuous filter)이며 이를 (5)식의 관계를 이용하여 디지털 필터(digital filter)로 변환한다

$$s = c \frac{z - 1}{z + 1} \quad \dots \quad (5),$$

여기서 $c = \frac{2}{T}$, T 는 sampling interval

식(4)와 식(5)의 관계에 의하여 구하고자 하는 필터는 식(6)의 전달 함수로 나타난다.

$$H(z) = \frac{w_c^2(z^2 + 2z + 1)}{a_1 z^2 + a_2 z + a_3} \quad \dots \quad (6)$$

여기서, $a_1 = (c^2 + \sqrt{2}w_c c + w_c^2)$

$$a_2 = (2w_c^2 - 2c^2)$$

$$a_3 = (c^2 - \sqrt{2}w_c c + w_c^2),$$

$$w_c = 2 \times \pi \times f$$

$$f = \frac{s}{\lambda_c}, s \text{는 이송 속도}, \lambda_c \text{는}$$

차단 값

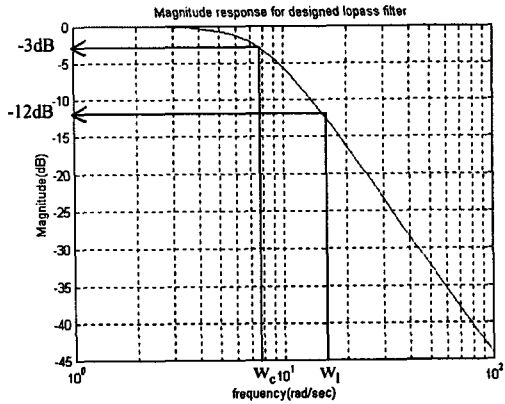


Fig. 2 Magnitude response for designed filter

: the 2nd Butterworth filter for lowpass filter.

cut-off value = 0.8 mm

Fig. 2는 설계된 filter의 특성을 보드 선도(Bode diagram)로 나타낸 것이다, 차단 값이 0.8mm일 때의 특성을 나타낸 것이다. 그럼에서 볼 수 있듯이 설계된 filter는 설계시 설정된 조건을 만족함을 알 수 있다.

2.2.3 차단 값 설정 및 오차

설계된 필터를 사용하여 저역 통과 필터를 하자 할 때 차단 값이 설정되어야 한다. 차단 값은 파장의 길이로서 설정이 되며, 설정된 차단 값을 기준으로 차단 값 이상의 파장 길이를 가지는 성분만 통과시키고, 그 이하의 파장 길이를 가지는 성분은 차단을 시킴으로서 필터링을 하는 것이다. 일반적으로 표면 조도기에서는 차단 값을 측정 길이의 1/3배로 설정하여 파상도를 구하고 있다.⁽⁵⁾⁽⁶⁾⁽⁷⁾ Fig. 3은 측정된 표면 형상의 파장의 1/3배 되는 파장을 차단 값으로 설정하고 필터링을 하여 파상도를 구한 것이다. 차단 값의 설정 문제에서 차단 값을 달리 하더라도 마찰 전 형상 추정의 결과는 변화가 없는 것으로 나타나는데, 이는 차단 값에 따라

나타나는 파상도 그 자체가 측정된 표면 형상의 고유 특성의 하나이기 때문인 것으로 판단된다. 따라서, 차단 값은 측정 길이 또는 필터링하고자 하는 파장 길이의 1/3배로서 설정하였다.

측정된 표면 형상들의 파상도와 거칠기를 비교하기 위해 식(7)과 같이 오차 값이 가장 작은 파상도와 거칠기를 각각 선택하여 이를 합성한 형상을 마멸 전 형상으로 가정한다.

$$error = \sum_{i=1}^N \frac{|z(i) - z'(i)|}{N} \quad \dots \quad (7)$$

단, N = the number of data points

$z(i)$ 는 마멸 전 측정된 표면 형상의 높이 값

$z'(i)$ 는 마멸 후 측정된 표면 형상의 높이 값

위의 과정을 거쳐 마멸 트랙 주위에서 파상도가 가장 유사한 마멸 전 형상의 파상도를 선택하고 같은 방식으로 거칠기를 선택하여, 두 개의 형상을 합성하고 합성된 형상을 마멸 전 형상으로 추정을 한다.

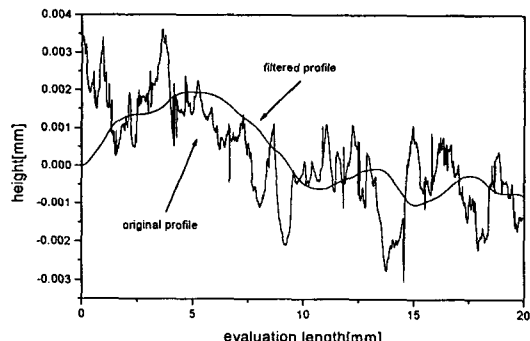


Fig. 3 A result of filtering using designed filter

: the 2nd Butterworth filter for lowpass filter. cut-off value = 6.67 mm

3. 검증 및 결과

위의 절차에 의한 마멸 전 형상 추정 방법에 대한 검증으로서 측정된 표면 형상의 일부분을 마멸 후 측정된 형상이라 가정을 하고, 위의 이론적 절차에 따른 결과가 정확한 위치를 찾아내는지를 검증하였다. Fig. 4와 같이 마멸 실험 후 측정된 표면 형상이라 가정된 형상은 모두 3가지 경우이며, 이는 실제 마멸 실험 후 표면 형상 측정시 측정 위치의 변화를 고려한 것이다. case 1의 경우는 마멸 전 표면 형상을 측정한 위치에서 마멸 후 표면 형상을 측정하는 경우이고, case 2는 마멸 후 측정된 표면 형상이 마멸 전 측정된 표면 형상들 사이에서 평행한 방향으로 측정된 경우이며, case 3은 마멸 후 측정된 표면 형상이 마멸 전 형상에 대해 비스듬하게 기울어져 측정되는 경우이다. 마멸 전 표면 형상의 추정을 위해 사용된 시편의 R_a 값은 $1.2\mu\text{m}$ 와 $0.64\mu\text{m}$ 의 2가지로서 표면이 상대적으로 거친 경우와 부드러운 경우에 대해서 검증을 하였다. 마멸 전 표면 형상으로 가정된 것은 $1/100 \text{ mm}$ 간격으로 20 개를 측정하였고, 마멸 후 측정된 형상으로 가정된 것은 Fig. 4에서처럼 case 1, 2, 3에 해당하는 위치에서 측정을 하였다.

Fig. 5는 위의 검증에 대한 결과이다. 그림

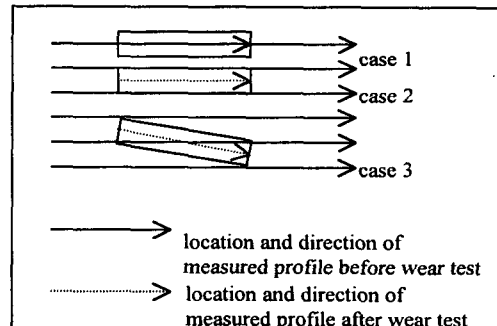


Fig. 4 Location and direction of measured profile before and after wear test

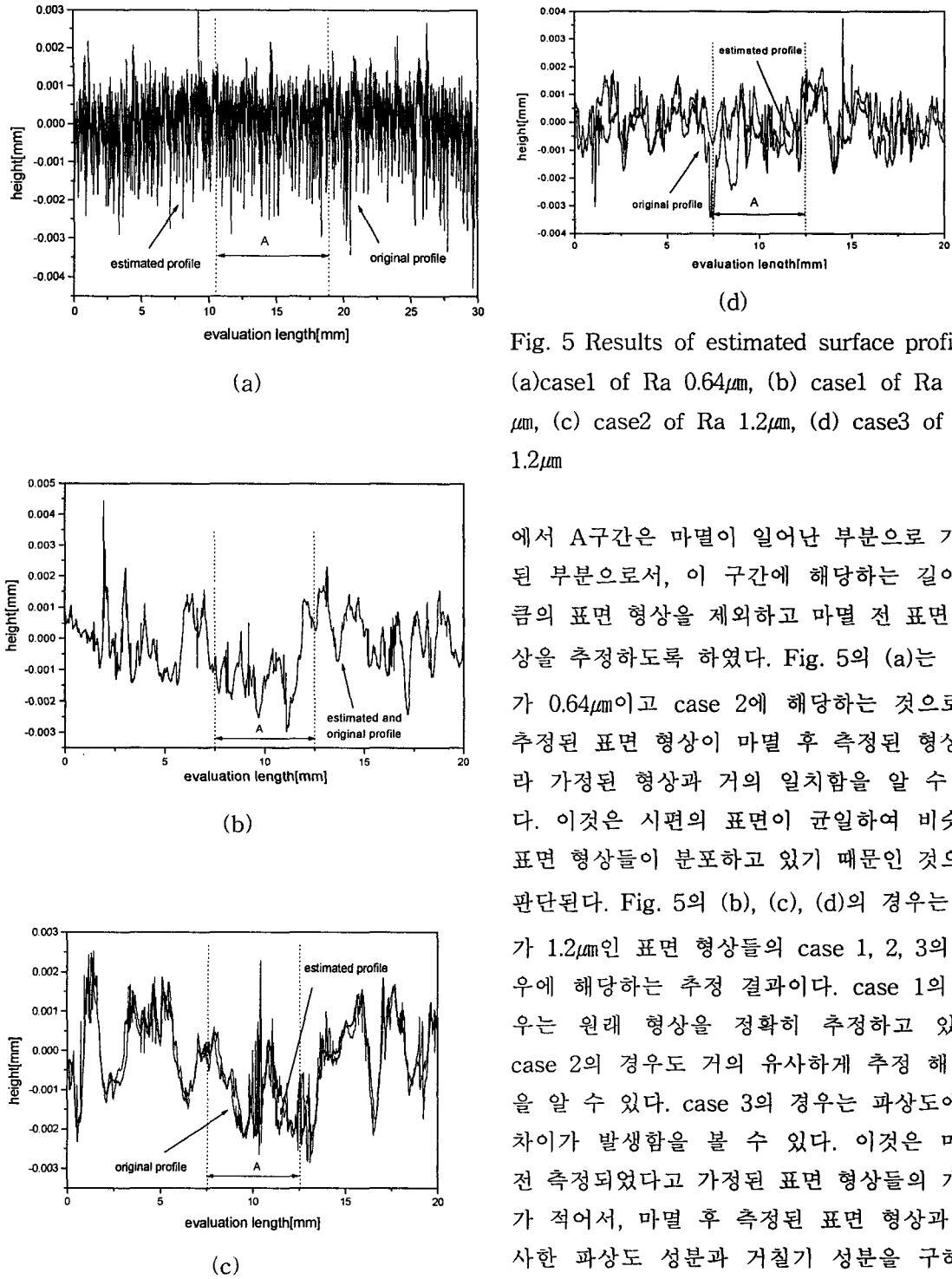


Fig. 5 Results of estimated surface profil
 (a) case1 of R_a $0.64\mu\text{m}$, (b) case1 of R_a $1.2\mu\text{m}$,
 (c) case2 of R_a $1.2\mu\text{m}$, (d) case3 of R_a $1.2\mu\text{m}$

에서 A구간은 마멸이 일어난 부분으로 가정된 부분으로서, 이 구간에 해당하는 길이만큼의 표면 형상을 제외하고 마멸 전 표면 형상을 추정하도록 하였다. Fig. 5의 (a)는 R_a 가 $0.64\mu\text{m}$ 이고 case 2에 해당하는 것으로서 추정된 표면 형상이 마멸 후 측정된 형상이라 가정된 형상과 거의 일치함을 알 수 있다. 이것은 시편의 표면이 균일하여 비슷한 표면 형상들이 분포하고 있기 때문인 것으로 판단된다. Fig. 5의 (b), (c), (d)의 경우는 R_a 가 $1.2\mu\text{m}$ 인 표면 형상들의 case 1, 2, 3의 경우에 해당하는 추정 결과이다. case 1의 경우는 원래 형상을 정확히 추정하고 있다. case 2의 경우도 거의 유사하게 추정 해 냄을 알 수 있다. case 3의 경우는 파상도에서 차이가 발생함을 볼 수 있다. 이것은 마멸 전 측정되었다고 가정된 표면 형상들의 개수가 적어서, 마멸 후 측정된 표면 형상과 유사한 파상도 성분과 거칠기 성분을 구하기 힘든 것으로 판단된다. 따라서, 마멸 후 측정되는 표면 형상의 측정 위치가 기울어질 경

우에 대해서 마멸 전 측정되는 표면 형상의 측정 범위와 개수를 증가시키는 것이 좀 더 정밀한 형상을 추정할 수 있을 것으로 판단된다.

4. 응용 프로그램

위의 절차에 따라서 구해지는 마멸량을 좀 더 쉽게 구하기 위해 응용 프로그램으로 구성하였다. 유저 인터페이스는 비주얼 베이스를 사용하여 구성하였으며, 마멸량 계산은 포트란으로 이루어지도록 구성하여, 지금까지의 방법과는 달리 좀더 쉽고 간단하게 마멸량을 구할 수 있도록 하였다. Fig.6에 구성된 프로그램을 나타내었다.

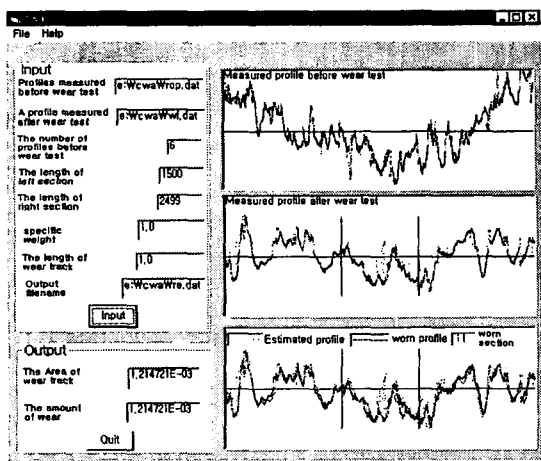


Fig. 6 Developed application program for the calculation of the wear amount

5. 결 론

정밀한 마멸량 계산을 위하여 마멸 시험 전 표면 형상을 이용하여 마멸 부위 표면 형상의 마멸되기 전 형상을 추정하는 방법을 제시하였다. 마멸된 부위 및 그 부근의 표면 형상 중 마멸로

손상되지 않은 부분의 파상도 및 거칠기 성분과 마멸 시험 전 측정된 형상들의 파상도 와 거칠기를 비교하여 가장 유사한 형태를 띠는 성분들을 선택하여 합성시킴으로서, 마멸 전 형상을 추정하는 기법을 개발하고 응용 프로그램으로 구성하였다.

이 기법을 이용하여 추정된 형상의 원래 형상과 비교로 다음과 같은 결과를 얻었다.

(1) 마멸 후 표면 형상과 마멸 전 표면 형상의 파상도와 거칠기 성분을 분리하여, 마멸이 되지 않은 부분에서 각각의 오차가 가장 작은 성분을 구한 후, 합성했을 때 마멸이 된 부분의 마멸 전 형상을 정밀하게 추정할 수 있었다.

(2) 표면 거칠기 성분까지 추정이 가능하므로, 일반적으로 측정하기 힘든 길들이기 과정에서 발생하는 미소 마멸량의 측정이 가능하였다.

참 고 문 헌

- (1) 공호성, "재료의 마찰과 마멸", 1994, TRIBOLOGY 技術 제16차 KIST-KITA 협동 전문 기술 교육 과정, pp.216~221
- (2) 전 종하, 구 영필, 조 용주, 1998, "푸리에 급수와 최소 자승법을 이용한 마멸량 측정", 제 28회 추계학술대회, 한국 윤활 학회, pp300~305
- (3) 염 재천, 정 동윤, 공 호성, 1998, "Vickers Indentor를 이용한 고마찰, 고압 실린더의 정밀마모측정에 관한 연구", 제 27회 춘계학술대회, 한국 윤활학회, pp.69~76
- (4) ERIC P. WHITENTON and PETER J. BLAU. 1988. "A COMPARISON OF METHODS FOR DETERMINING WEAR VOLUMES AND SURFACE PARAMETERS OF SPHERICALLY TIPPED SLIDERS". Wear. vol 124. pp291-309

Ltd. pp7~40

- (6) 日本工業標準調査会, 表面粗さ (JIS B 0601).1
976. 日本 規格 協會
- (7) 日工業標準調査会, 表面うねりの定義と表示
(JIS B 0610).1976. 日本 規格 協會
- (8) The Form Talysurf Series2
Operator's Handbook. Rank Taylor
Hobson Limited.
- (9) Edward P.Cunningham, "Digital
Filtering : An Introduction", JOHN WILEY
& SONS, INC.